

inoculación en el año 2017, de un hongo que produce pudrición marrón en la madera, *Laetiporus sulphureus*. A través de observaciones de microscopía óptica, de fluorescencia y de análisis químicos que comparan los contenidos de celulosa, hemicelulosa y lignina entre muestras de madera sana (control) y madera cercana a las zonas de inoculación, se analizan tanto la respuesta del árbol, como el avance del hongo en la misma.



OBJETIVO GENERAL

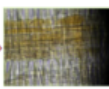
Determinar el mecanismo de defensa en árboles de *Eucalyptus* grandes frente a la inoculación del hongo de pudrición marrón: *Laetiporus sulphureus*.

OBJETIVOS ESPECÍFICOS

Determinar los microorganismos presentes en el entorno inmediato de los puntos de inoculación en los árboles en pie, con hincapié en el árbol inoculado con *Laetiporus sulphureus*.



MICROSCOPIA ÓPTICA



RESULTADOS

Nº de árbol	Altura (m)	Aspecto general de muestra	Carbohidratos os (mg GluC/g madera)	Nº de árbol	Altura (m)	Aspecto general de muestra	Carbohidratos (mg GluC/g madera)	Cont. Humedad base seca (%)	Cont. Humedad base humeda (%)	Lignina soluble (%)	Extractivos (%)	Celulosa (%)
Árbol 4				Árbol 5								
A	0,5	Muestras en su mayoría con un gran grado de deterioro, con pérdida de estructura, por lo cual disminuyó a un pequeño tamaño de muestra viable para ensayos	1,37	A	CONTROL	Poco deterioro, buena estructura, madera de apariencia relativamente aceptable, favoreció el desarrollo de los ensayos químicos y	0,30	81,05	44,77	14,5	25,13	56,25
B	0,5		0,95	B	0,5		0,27	100	30	24,8	16,66	54,27
C	1		0,98	C	1		0,53	100	50,5	29,1	19,99	56,58
D	1		1,00	D	1,5		0,19	100	50	18,7	31,04	47,25
E	1,5		0,39	E	1,5	-	-	-	-	-	-	
F	1,5		0,85	F	0,5	-	-	-	-	-	-	
G	1,5		0,74	G	1	-	1,14	-	-	-	-	
							1,93					

Nº de árbol	Altura (m)	Aspecto general de muestra	Lignina soluble (base seca)	Hemicelulosa	Carbohidratos (mg GluC/g madera)	Cont. Humedad base seca (%)	Cont. Humedad base humeda (%)
Árbol 5							
A	0,5	58,10510612	95	1,00	58,10510511	36,77419155	
B	0,5	58,10510707	62,10594622	0,60	79,90510608	44,41805670	
C	1	58,10510612	58,10510612	0,23	58,10510612	58,10510612	

CONCLUSIÓN

